

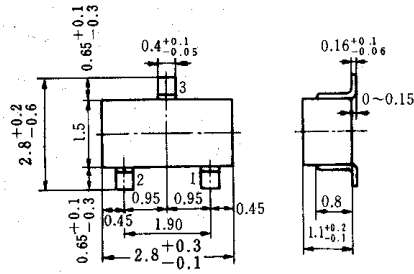
# 2SC3374

シリコン NPN 形

VHF増幅用  
VHF TVチューナ高周波増幅用

SILICON NPN

VHF AMPLIFIER  
VHF TV TUNER RF AMPLIFIER



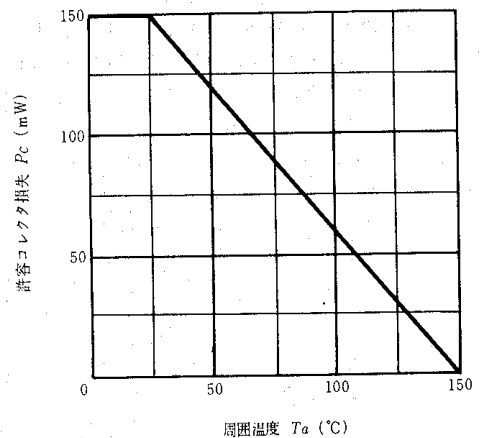
1. エミッタ: Emitter
  2. ベース: Base
  3. コレクタ: Collector
- (Dimensions in mm)

(MPAK)

## ■ 絶対最大定格 ABSOLUTE MAXIMUM RATINGS ( $T_a=25^\circ\text{C}$ )

| 項目          | Symbol    | 2SC3374  | Unit             |
|-------------|-----------|----------|------------------|
| コレクタ・ベース電圧  | $V_{CBO}$ | 20       | V                |
| コレクタ・エミッタ電圧 | $V_{CEO}$ | 20       | V                |
| エミッタ・ベース電圧  | $V_{EBO}$ | 3        | V                |
| コレクタ電流      | $I_C$     | 20       | mA               |
| エミッタ電流      | $I_E$     | -20      | mA               |
| 許容コレクタ損失    | $P_C$     | 150      | mW               |
| 接合部温度       | $T_j$     | 150      | $^\circ\text{C}$ |
| 保存温度        | $T_{stg}$ | -55~+150 | $^\circ\text{C}$ |

## 許容コレクタ損失の周囲温度による変化 MAXIMUM COLLECTOR DISSIPATION CURVE



## ■ 電気的特性 ELECTRICAL CHARACTERISTICS ( $T_a=25^\circ\text{C}$ )

| 項目            | Symbol        | Test Condition                                                                      | min. | typ. | max. | Unit          |
|---------------|---------------|-------------------------------------------------------------------------------------|------|------|------|---------------|
| コレクタ・ベース破壊電圧  | $V_{(BR)CBO}$ | $I_C=100\mu\text{A}, I_E=0$                                                         | 20   | -    | -    | V             |
| コレクタ・エミッタ破壊電圧 | $V_{(BR)CEO}$ | $I_C=3\text{mA}, R_{BE}=\infty$                                                     | 20   | -    | -    | V             |
| エミッタ遮断電流      | $I_{EBO}$     | $V_{EB}=3\text{V}, I_C=0$                                                           | -    | -    | 10   | $\mu\text{A}$ |
| コレクタ遮断電流      | $I_{CBO}$     | $V_{CB}=20\text{V}, I_E=0$                                                          | -    | -    | 100  | nA            |
| 直流電流増幅率       | $h_{FE}$      | $V_{CE}=10\text{V}, I_C=2\text{mA}$                                                 | 20   | -    | 200  |               |
| 利得帯域幅積        | $f_T$         | $V_{CE}=10\text{V}, I_C=2\text{mA}$                                                 | 400  | 550  | -    | MHz           |
| 逆伝達容量         | $C_{re}^*$    | $V_{CB}=12\text{V}, I_E=0, f=1\text{MHz}, \text{Common Emitter}$                    | -    | -    | 0.5  | pF            |
| 電力利得          | PG            | $V_{CC}=12\text{V}, V_{AGC}=1.7\text{V}, f=200\text{MHz}, (I_C \approx 2\text{mA})$ | 15.5 | -    | -    | dB            |
| 雑音指数          | NF            | $V_{CE}=10\text{V}, I_C=2\text{mA}, f=200\text{MHz}$                                | -    | -    | 3.2  | dB            |
| AGC電圧         | $V_{AGC}$     | $V_{CC}=12\text{V}, \text{GR}=30\text{dB}, f=200\text{MHz}$                         | 4.3  | -    | 5.8  | V             |

\* 平衡容量測定器により測定 (エミッタ端子は測定器の接地端子に接続)  
\* Measured by the balanced type capacitance bridge.  
(Emitter lead is connected to earth terminal of the tester.)

\*\* 現品表示マークは「IJ」です。  
\*\* Marking is 「IJ」.

■ 各特性曲線は2SC1856参照。  
See characteristic curves of 2SC1856.